

ՀՀ ԿՐԹՈՒԹՅԱՆ ԵՎ ԳԻՏՈՒԹՅԱՆ 4,ԱԽԱՐԱՐՈՒԹՅՈՒՆ ՀԱՅԱՍՏԱՆԻ
ՊԵՏԱԿԱՆ ԱԳՐԱՐԱՅԻՆ ՀԱՄԱԼՍԱՐԱՆ ԳՅՈՒՂԱՏՏԵՍԱԿԱՆ
ՄԵՔԵՆԱՆԵՐԻ ԱՄԲԻՈՆ

Շ.Մ. ԳՐԻԳՈՐՅԱՆ, Ս.Վ. ՀՈՎՀԱՆՆԵՍՅԱՆ, Ա.Հ. ՄԵԼՔՈՆՅԱՆ

**ՀՈՂԻ ՄՇԱԿՄԱՆ ՄԵՔԵՆԱՆԵՐԻ ԲԱՆՈՂ
ՕՐԳԱՆՆԵՐԻ ՊԱՐԱՄԵՏՐԵՐԻ ՀԱՇՎԱՐԿԻ
ՏԵԱՌՈՒԹՅԱՆ ՏԱՐՐԵՐԸ**

ԴԱՍԱԽՈՍՈՒԹՅՈՒՆՆԵՐԻ ԶԵՇՆԱՐԿ

ԵՐԵՎԱՆ ՀՊԱՀ
2008

ՀՏՏ 631.3(042)
ԳՄԴ – 40.722 գ7
Գ 888

Աշխատանքը հավանության է արժանացել զյուղատնտեսության մեքենայացման և տրանսպորտային փոխադրումների ֆակուլտետի մեթոդական խորհրդի կողմից (16.11.2007 թ., արձանագրություն 2):

Խմբագիր Մ.Ժ. ՂԱԶԱՐՅԱՆ

ԳՐԻԳՈՐՅԱՆ Շ.Մ. և ուրիշներ Գ 888 Հողի մշակման մեքենաների բանող օրգանների պարամետրերի հաշվարկի տեսության տարրերը. Դասախոսությունների ձեռնարկ / Շ.Մ. Գրիգորյան, Ս.Վ. Հովհաննիսյան, Ա.Հ. Մելքոնյան. - Եր.: ՀՊԱՀ, 2008.-40 էջ:
Դասախոսությունների ձեռնարկը նախատեսված է ճարտարագիտական մասնագիտությունների ուսանողների համար. Ներկայացված են հողի մեխանիկական մշակման տեխնոլոգիական հիմնները, գութանի, իրանի, խփ-քե մակերևույթի կառուցման ընդհանուր սկզբանները, գութանի բարշային դիմադրության, բանող օրգանների պարամետրերի, հողի վերին շերտը փիփեցնող մեքենաների հաշվարկի տեսությունները:

ԳՄԴ 40.722 գ7

ISBN 978-9939-54-091-7

© Շ.Մ. Գրիգորյան, Ս.Վ. Հովհաննիսյան, Ա.Հ. Մելքոնյան, 2008 թ. © Հայաստանի պետական ազգարային համալսարան, 2008 թ.

ՀՈՂԻ ՄՇԱԿՄԱՆ ՄԵՔԵՆԱՍԵՐԻ ԲԱԼՈՂ ՕՐԳԱՆԱՑԵՐԻ ՊԱՐԱՄԵՏՐԵՐԻ ՀԱՆՎԱՐԿԻ ՏԵՍՈՒԹՅԱՆ ՏԱՐՐԵՐԸ

Հողի մշակման մեքենաների և նրանց բանող օրգանների կառուցվածքային մշակումը սկիզբ է առել հնագույն ժամանակներից: Ընդհանրապես տեխնիկայի, այդ թվում հողի մշակման մեքենաների հայտնագործումը կապված է հասարակության պահանջների հետ, ուստի այն ծառայում է որպես արտադրողական ուժերի անբաժան տարր:

Հողի մշակման տեխնիկական միջոցները ի հայտ են եկել և աստիճանաբար կատարելագործվել հազարավոր տարիներ առաջ: Դրանք աշխատանքի առաջին գործիքներն են, որոնք առաջ են եկել երկրագործության հետ միաժամանակ, որի զարգացումը անհնար է առանց հողի մեխանիկական մշակման՝ թեկուզ և ամենատարրական գործիքներով:

Հողի մշակման գործիքների զարգացումը, անկասկած, կապված է հասարակության էներգետիկ հնարավորությունների հետ. մարդկային, կենացաների կենսարանական էներգիա և ապա ջերմային շարժիչներ, մինչև ժամանակակից տրակտորները:

Հետաքրքրական է նշել, որ մարդկային մտածողության կրահողական ընդունակության շնորհիվ, առանց որևէ գիտական հիմնավորման, 1763թ շոտլանդացի ժամագործ վարպետ Ջեյմս Սնոլլը առաջինը մշակեց պտուտակային թևը և դա պատմության մեջ նշվում է որպես անգլիական թևով գութան:

Հողի մշակման տեխնիկայի հիմտենախվ զարգացումը սերտորեն կապված է ֆեռղալական արտադրական հարաբերությունների վերացման և կապիտալիզմի հաստատման հետ, որի գոյությունը պահանջում էր գյուղատնտեսության մեջ մեքենաների լայնորեն օգտագործում, ինչպես նաև գյուղմեքենաշինական գործարանների շինարարություն:

Հողի մշակման մեքենաների այդ ժամանակի բուռն զարգացման պահանջները հիմնված են ցանքի տարածքների ընդարձակման, ինչպես նաև խոպան հողերը շրջանառության մեջ դնելու անհրաժեշտության վրա: Առաջ է գալիս գուրանի բանող մակերևույթի երկրաշափական ձևի գիտական հիմնավորման անհրաժեշտությունը, որը սկիզբ է առնում 1875թ անգլիացի երկրագործ Բեյլիի հետագոտությամբ: Բեյլին առաջինն էր, որ ապացուցեց առի լայնության և

հաստության հարաբերության լավարկման մեջությունը՝ $\frac{b}{a} = 1.5$:

Վարի գործընթացի գիտական տեսությունը մշակվել է իտալացիներ Լամբրուչինիի և Ոհողլֆիի կողմից 1832թ:

Յոդային առօ ընդունելով որպես ուղղանկյուն գուգահեռանիստ, իսկ նրա շրջումը որպես պտույտ՝ սկզբում մի, ապա մյուս կողի շուրջը, մշակվում է առի շրջման կիմեմատիկամ:

Նշենք, որ մինչև Գորյաչկինյան ժամանակաշրջանը կատարված աշխատանքներում էմպիրիկ հիմնավորված էին միայն առի պարամետրերը և նրա շրջման տարրերը, որոնք չէին կարող հիմք հանդիսանալ առավել կատարյալ հողամշակման գործիքների ստեղծման համար:

Գուրանների կառուցվածքային մշակումը չունենալով լուրջ գիտական հիմունքներ և հիմնված լինելով «կույր» էմպիրիկայի վրա՝ պահանջում էր հոդի մեխանիկական մշակման հիմնավոր տեսություն:

Միջանկյալ կարգով արժե հիշատակել Ս.Վ. Լոնոնոսովի ծառայությունները Ռուսաստանում գուրանների տարածման գործում, որի համար իր առաջարկությանը հիմնվում է “Вольное Экономическое Общество”-ն (1875թ): Տպագրվեցին բազմաթիվ աշխատություններ, բացառապես գուրանների մասին, կազմակերպվեցին ցուցահանդեսներ և միցույթներ գուրանների կատարելագործման և լայնորեն ներդրման նպատակով:

Գուրանների տարածման գործում անուրանալի են Դ.Ի Մենդելեևի ծառայությունները: Նրա նախաձեռնությամբ և ղեկավարությամբ վերը նշված ընկերությունը կազմակերպում է փորձմական աշխատանքներ՝ գուրանով խոր վարի և միաժամանակ պարատացման անժամանի արդյունքների մասսայականացման նպատակով: Ակսվել էր հետևողական գիտահետազոտական աշխատանքների ժամանակշրջանը:

Այնուհանդերձ հոդի մշակման գործիքների գարգացման և կատարելագործման մեջ առավելագույն ներդրումը պատկանում է Վ.Պ. Գորյաչկինին (1868-1935թթ.): Նա առաջինը մշակեց թևի (1898թ.) և գուրանի (1927թ.) տեսությունը, որը մինչև օրս դրանց հաշվարկի և նախագծման գիտական հիմքն է հանդիսանում:

1. ՄԵՊԸ ՈՐՄԵՍ ՀՈՐԱՄԾԱԿՄԱՆ ԳՈՐԾԻՔՆԵՐԻ ՀԻՄՔ ԵՎ ՆՐԱ ՓՈԽԱԶԴԵՑՈՒԹՅՈՒՆԸ ՀՈԴԻ ՀԵՏ

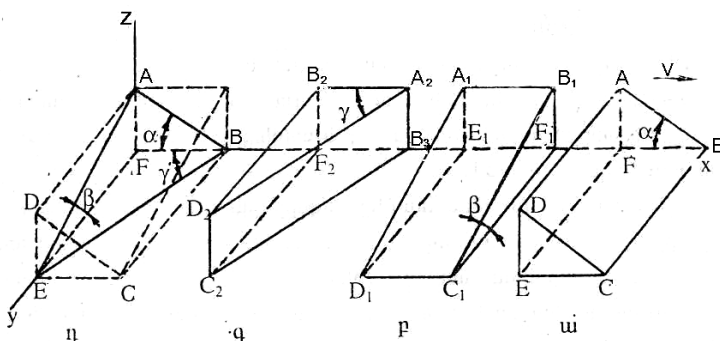
Յոդի մեխանիկական մշակման որակը կախված է ինչպես մշակվող միջավայրի տեխնոլոգիական հատկանիշներից, այնպես էլ բանող օրգանի երկրաչափական ձևից:

Ակադեմիկոս Վ.Պ. Գորյաչկինը ցույց է տվել, որ սեպը ամենապարզ (կուլտիվատորային թաթիկ) և ամենաքարոշ (գուրանի թև) բանող օրգանների հիմքն է, այդ պատճառով պարզագույն դեպքում

հողամշակման օրգանների և սեպի ազդեցությունը հողի վրա մոտավոր նույնացվում է:

Ըստ Երկրաչափական ձևի սեպերը լինում է՝ հարթ և կորագիծ (թարիկ, թև, խոփ), մյուս կողմից տարբերում են ուղիղ և շեղ միանիստ, երկնիստ և եռանիստ սեպեր: Սիևնույն սեպը, կախված շարժման ուղղությունից, կարող է լինել ուղիղ և շեղադիր: Սեպերի տեսակները բնորոշվում են հողի հետ անմիջականորեն փոխազդեցության մեջ մտնող նիստերի թվով:

Իրականում չկան միանիստ սեպեր, քանի որ որոշ ժամանակ աշխատելուց հետո մաշվում է թիթը և այն դառնում է երկնիստ, որոնցից մեկը բանող է, մյուսը՝ հենարան (նկ.1):



Նկ. 1. Հարթ սեպի տարատեսակները

ապարզ փխրեցման α անկյունով, β -պարզ, շրջման β անկյունով, գ-պարզ, կողը հրման γ անկյունով, η -շեղ եռանիստ սեպ α, β, γ անկյուններով:

Երրորդ՝ ետին միստը, կանգնակ է և չի մասնակցում տեխնոլոգիական գործընթացի կատարմանը:

Տարածության մեջ միևնույն երկնիստ սեպը տեղադրելով տարբեր ձևով՝ (նկ.1) կարելի է ստանալ հարթ սեպի երեք տարբերակներ: Առաջին սեպը կտրելով հողը՝ բարձրացնում է α անկյան տակ և փխրեցնում, այդ պատճառով α -ն կոչվում է փխրեցման անկյուն: Երկրորդ սեպն իր վրա վերցնելով առը՝ շրջում է β (շրջման) անկյան տակ: Երրորդ սեպը γ անկյան տակ կատարում է առի կողը հրում: Յորիգոնական հարթության մեջ γ անկյունը կատարում է այն դերը, ինչ որ α -ն՝ ուղղաձիգ հարթության մեջ:

Այդ երկու անկյունները աջակցով են առի քայլայման գործնաթացին տարբեր հարթություններում: Կատարելով երեք սեպերի համատեղում միևնույն կողոդիմատային առանցքների վրա՝ կարելի է ստանալ մեկ եռամիստ սեպ (Ծ.կ.1), որն ունի երեք α, β, γ անկյուններ և որոնց առկայությամբ մեկ սեպով կատարվում են այն բոլոր գործնաթացները, ինչ որ երեք պարզ սեպերով:

Դեկապարվելով դիմերենցիալ երկրաչափության օրենքներով, կոր գիծը պատկերացնելով որպես անվերջ թվով դիմերենցիալ ուղիղ գծերի գումար՝ հմտվար չէ երկնիստ սեպից ստանալ փիլորեցնող թաթիկ, եռանիստ սեպից՝ թվի մակերուսը:

Դժվար չէ կռահել, որ եռանիստ սեպի ABEF երեք անկյուններից կարելի է ընտրել միայն երկուսը, երբորդն անպայման որոշվում է մյուս երկուսի արժեքներով (Ակ.1).

$$FA = FB \cdot \tan\alpha = EF \cdot \tan\beta = FB \cdot \tan\beta \cdot \tan\gamma,$$

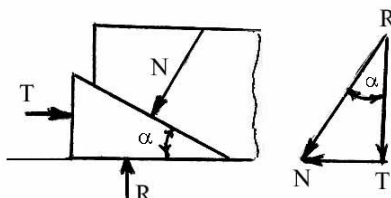
$$\text{u} \quad \quad \quad \operatorname{tg}\alpha = \operatorname{tg}\beta \cdot \operatorname{tg}\gamma : \quad (1)$$

Սեպի դրական հատկանիշներից մեկն էլ այն է, որ փոքր քարչային ուժով առաջանում են մեծ նորմալ լարումներ (նկ.2)

$$N = \frac{T}{\sin \alpha} ;$$

Այդ լարումները ըստ էության հողը դեֆորմացիայի են ենթարկում ըստ ձգման և սահքի, որի դեպքում անհրաժեշտ ճիզը մոտ 10 անգամ փոքր է ստացվում սեղմնան դեֆորմացիայի համեմատությամբ:

Խելացի օգտագործելով այդ լարումները՝ զգալիորեն մեծաց-
վում է փիլոքաման աշխատանքի օգագութեան:



Նկ.2.Արի և սեաի ուժային փոխազդեցության ուսումնասիրման սխեմա

2. ՀՈՌԻ ՂԵՖՈՐՄԱՑԻԱՆ ՍԵՊՈՎ

Ժամանակակից մի շարք գիտական աշխատանքներում և դասագրքերում ընդունվում է, որ սեպի ազդեցության տակ ճաքերն առաջանում են այն հարթությունում, որտեղ հակագդման ուժերը $\bar{R} = \bar{N} + \bar{F}$ ստանում են առավելագույն արժեք: Մինչդեռ նյութերի դիմադրությունից հայտնի է, որ ճաքերն առաջանում են այնտեղ, որտեղ շոշափող լարվածություններն են առավելագույն և գերազանցում են սահքի ժամանակավոր լարվածություններին:

Որպեսզի համոզվենք այդ երկու դրույթների էական տարրերության մեջ, տեսականորեն ուսումնասիրենք այդ հարցերը:

1. Խնդրի առաջին տարրերակում որոշենք այն հարթության ուղղությունը, որտեղ հակագդումը՝ R , ստանում է առավելագույն արժեք (նկ. 3):

Ընդհանուր դեպքում սեպի վրա ազդում են N ուժը և շիման F ուժը, որոնք տալիս են $\bar{R} = \bar{N} + \bar{F}$ համագործ:

Ընդունենք, որ ճաքն իրոք առաջանում է R -ից մեծ R' համագորի ուղղությամբ, հորիզոնի նկատմամբ ψ անկյան տակ:

Համաձայն նկ.3-ի կարող ենք գրել, որ $R' = R / \sin(\alpha + \varphi + \psi)$: Այս արտահայտության մասնակի ածանցյալն ըստ ψ անկյան հավասարեցնելով գրոյի, կստանանք.

$$\psi = 90 - (\alpha + \varphi) : \quad (2)$$

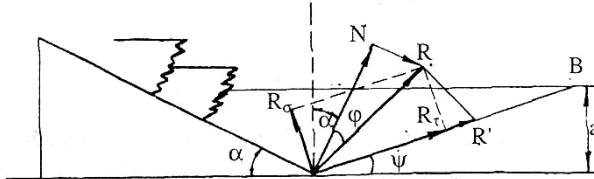
Ստացված բանաձևից պարզվում է, որ ճաքի ուղղությունը R' համընկնում է R -ի հետ նորմալից շեղված Փ անկյան տակ:

2. Այժմ ընդունենք, որ ճաքն առաջանում է AB հարթության մեջ, որտեղ շոշափող լարվածությունները ստանում են առավելագույն արժեքները: Սեպը շարժվելով առաջ՝ a վզքում խտացնում է հողը, ապա առաջացնում ճաք AB հարթությամբ: ճաքի մակերեսը կլինի

$$AB \cdot b, \quad AB = \frac{a}{\sin \psi}, \quad \text{որտեղ՝ } b-\text{ն սեպի լայնությունն է, ուստի}$$

$$AB \cdot b = \frac{a \cdot b}{\sin \psi} : \quad \text{Համազոր } R \text{ ուժը, բաղադրելով երկու բաղադրիչների } AB \text{ հարթությանը գուգահեռ } R_c \text{ և նորմալի ուղղությամբ } R_\sigma, \text{ կստանանք.}$$

$$\left. \begin{aligned} R_\tau &= R \sin(\alpha + \varphi + \psi), \\ R_\sigma &= R \cos(\alpha + \varphi + \psi) \end{aligned} \right\}$$



Նկ.3.Սեաի շարժման հարթության մեջ ճաքի ուղղության որոշման սխեմա

Շոշափող τ և նորմալ σ լարվածությունների համար համապատասխանաբար կստանանք՝

$$\left. \begin{aligned} \tau &= R \sin(\alpha + \varphi + \psi) \frac{\sin \psi}{a \cdot b}, \\ \sigma &= R \cos(\alpha + \varphi + \psi) \frac{\sin \psi}{a \cdot b} \end{aligned} \right\}$$

Սահյի հարթության ուղղությամբ կունենանք մի ուժ՝ S , որը հավասար կլինի շոշափող R_τ և նորմալ ուժից R_σ առաջացած շիման $\operatorname{tg} \varphi' R_\sigma$ ուժերի գումարին ($\operatorname{tg} \varphi'$ -ինդի ներքին շիման գործակիցն է).

$$S = R [\sin(\alpha + \varphi + \psi) + \operatorname{tg} \varphi' \cos(\alpha + \varphi + \psi)]$$

Ուրեմն AB հարթության մեջ առաջացած շոշափող լարվածությունները

հավասար են $\frac{S \sin \psi}{a \cdot b}$, կամ

$$\frac{S \sin \psi}{a \cdot b} = \frac{R [\sin(\alpha + \varphi + \psi) + \operatorname{tg} \varphi' \cos(\alpha + \varphi + \psi)] \sin \psi}{a \cdot b}.$$

Ամենամեծ շոշափող լարվածությունների ուղղությունը գտնելու համար ածանցենք վերջին արտահայտությունը ըստ ψ -ի և հավասարեցնենք զրոյի.

$$\frac{\partial}{\partial \psi} \left(\frac{S \sin \psi}{a \cdot b} \right) = \sin(\alpha + \varphi + \varphi' + 2\psi) = 0, \quad \text{ուստի}$$

$$\alpha + \varphi + \varphi' + 2\psi = 180^\circ, \text{ կամ}$$

$$\psi = 90 - \frac{\alpha + \varphi + \varphi'}{2}: \quad (3)$$

Փորձնական տվյալների վերլուծությունը ցույց է տվել, որ $\alpha < 90 - \varphi$ արժեքի դեպքում ճաքի ուղղությունը համապատասխանում է (3) արտահայտությանը: Մինչդեռ ճաքի անկյան $\psi = 90 - (\alpha + \varphi)$ արտահայտությունը ճիշտ է միայն մեկ նաևնավոր դեպքում, եթե $90 - (\alpha + \varphi) = 90 - \frac{\alpha + \varphi + \varphi'}{2}$, որտեղից՝ $\alpha = \varphi' - \varphi$: Քանի որ φ և φ' մեծությունները անընդհատ փոփոխվում են, ուստի (2) արտահայտությունը կորցնում է իր գործնական նշանակությունը:

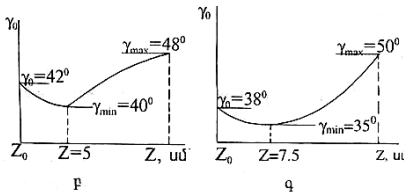
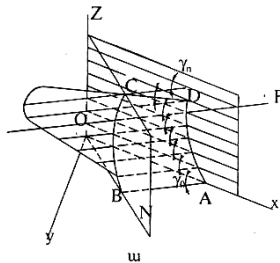
Ինչպես արդեն նշվեց (3) բանաձևը ճիշտ է, եթե $\alpha < 90 - \varphi$ և տեղի ունի առի հարաբերական տեղաշարժ: Իրականում մի շարք բանող օրգանների աշխատանքի ժամանակ (փիրեցնող թաթիկներ) $\alpha > 90 - \varphi$: Այս դեպքում սեպի մակերևույթի վրա առաջանում են հողային խտացումներ և հողի դեֆորմացիան առաջանում է այդ խտացման անմիջական ազդեցության տակ, որի դրվագը անկյունը $\alpha = 90 - \varphi$. (3) արտահայտության մեջ փոխարինելով $\varphi = \varphi'$ և $\alpha = 90 - \varphi'$, կստանանք.

$$\psi = 45^\circ - \frac{\varphi'}{2} : \quad (4)$$

Սեպի շարժմանն ուղղահայաց հարթության մեջ կողային ճաքերի միջնանց հետ կազմած անկյունը ընդունվում է հավասար հողի ներքին շփման անկյանը՝ φ' :

3. ԳՈՒԹԱԱՆԻ ԻՐԱԾԻ ԽՈՓ – ԹԵՎ ՄԱԿԵՐԵՎՈՒՅԹԻ ԿԱՌՈՒՑՄԱՆ ԸՆԴՀԱՆՈՒՐ ՍԿԶԲՈՒՆՔՆԵՐԸ

Խոփ-թև մակերևույթի կառուցման խնդիրներն ընդհանուր առմամբ կարելի է լուծել երկու եղանակով. նախ՝ առաջադրելով հողի դեֆորմացիայի ձևը, որոշել թևի մակերևույթը և մյուսը՝ առաջադրելով մակերևույթը, որոշել դեֆորմացիայի ձևը: Դեռևս նշված երկու եղանակներից և ոչ մեկը վերջնական լուծում չի ստացել, այդ պատճառով խոփ-թև մակերևույթը ընտրվում է արդեն եղած իրանների մակերևույթներից՝ այն ենթարկելով տեսական վերլուծության և հետագա գիտափորձնական ստուգման: Դայտնի մակերևույթների վերլուծությունը թույլ է տալիս ենթադրել, որ իրանի մակերևույթը պետք է լինի գծային և փոփող: Դրանք հեշտ են պատրաստվում և քիչ ցեխոտվում:



Նկ.4. Գլանակերաքանող մակերևույթ

ա-կազմավորման սխեմա, թ, գ-ց անկյան փոփոխման օրինաչափություններն ըստ բարձրության (կուլտուրական և կիսապտուտակային թևերի համար):

Կատարելով երկարատև հետազոտություններ՝ Վ.Պ. Գորյաչիկինը նշում է, որ մակերևույթները ստորաբաժանվում են երեք խմբի՝ պտուտակային, գլանային և միջանկյալ: Քանի որ գլանայինը հազվա-

դեպք է օգտագործվում և գլանակերպի մասնավոր դեպքն է, ուստի դիտարկենք գլանակերպ և պտուտակային թևերը (նկ. 4):

Գլանակերպ թևերը լինում են երեք տիպի՝

$$\text{գլանային } \Delta\gamma = \gamma_{\max} - \gamma_0 = 0,$$

$$\text{կուլտուրական } \Delta\gamma = 2\ldots 7^\circ,$$

$$\text{կիսապտուտակային } \Delta\gamma = 7\ldots 15^\circ:$$

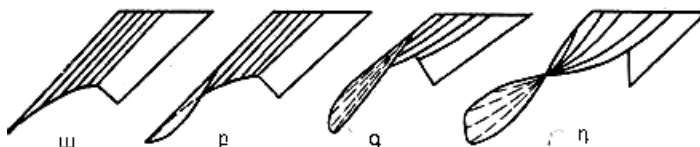
Գլանային թևերն առը լավ փիխեցնում են, սակայն վատ շրջում, կուլտուրականը՝ համեմատաբար լավ շրջում է, վատ փիխեցնում և կիսապտուտակային թևերը լավ շրջում են առը, վատ փիխեցնում:

Գլանակերպ թևերը կառուցվում են տարբեր եղանակներով, որոնցից լայն տարածում է գտնվող պոդֆ. և. Կ. Ծչուչկինի մեթոդը, ըստ որի այդ մակերևույթը ստացվում է (նկ. 4. a) ուղիղ կազմող գիծը (EF) շարժելով ուղղորդ կորի (BC) վրայով՝ միաժամանակ փոփոխելով կազմող գծի և ակոսի պատի միջև կազմած γ անկյունը ըստ բարձրության (Z):

Ուղղորդ կորը վերցվում է N հարթության մեջ, որն ուղղահայաց է խոփի կտրող եզրին: Կազմող գծի փոփոխման օրինաչափությունները տարբեր թևերի համար գուաֆիկորեն տրված են նկ. 4. բ, գումար:

Թե՛ կուլտուրական, և թե՛ կիսապտուտակային թևերի մոտ սկզբում փոքրանում է γ անկյունը γ₀ -ից γ_min, առը հանգիստ վերցնելով համար: Այնուհետև այդ անկյունները աճում են կուլտուրականի մոտ ուռուցիկ կորով, կիսապտուտակայինի մոտ՝ գոգավոր կորով: Այդ անկյունների փոփոխման օրինաչափություններով է կանխորոշվում թևերի տեխնոլոգիական հատկանիշները՝ փիխեցնան, շրջման:

Պտուտակային թևերն ըստ ուղղորդ կորի երկրաչափական ձևի լինում են երեք տեսակի՝ ուռուցիկ, գոգավոր և ուղղագիծ ուղղորդներով:



Նկ.5. Գութանի թևերի տեսակները

ա-գլանային, բ-կուլտուրական, գ-կիսապտուտակային, դ-պտուտակային:

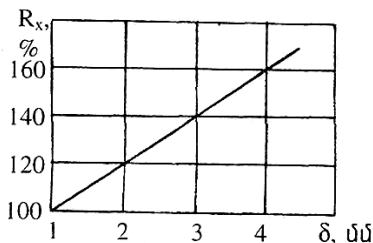
Ուղղորդի այս կամ այն երկրաչափական ձևի ընտրությունը կախված է երկու ազդակներից՝ բանող օրգանի ցեխոտման հավանականության փոքրացման և առի դեֆորմացիայի վրա ծախսվող էներգիայի փոքրացման տեսակետից: Հաստատված է, որ թվի ցեխոտումը նկատվում է այնտեղ, որտեղ առը թիվի չի նստում մակերևույթի վրա և այդ մասի ճնշումը անհամեմատ փոքր է:

Առաջադրված պահանջներին բավարարում է գոգավորությունը կորը, որը խոփի մակերևույթով արդեն դեֆորմացված առը գրկում է ամբողջությամբ:

4. ՎԱՐԻ ՏԵԽՆՈԼՈԳԻԱԿԱՆ ԳՈՐԾԵՆԹԱՑԻ ՏԵՍԱԿԱՆ ԴԻՄՈՒՆՔՆԵՐԸ

Վարի տեխնոլոգիական գործընթացը ընդգրկում է երեք օպերացիաներ՝ առի կտրում, շրջում և փիկրեցում: Դիտարկենք այդ օպերացիաներից յուրաքանչյուրի տեսական հիմունքները:

Առի կտրում: Յողի մշակման մեքենաներում օգտագործում են երկու տեսակ կտրում՝ սեպով և սայրով: Սեպով հողի կտրման ժամանակ որոշիչ նշանակություն ունի բանող նիստը, իսկ սայրով կատարում է լրացուցիչ դեր: Սայրով կտրման ժամանակ գլխավոր դերը պատկանում է սայրին, երեսակները կատարում են լրացուցիչ դեր: Սակայն կտրման այդ երկու գործընթացների միջև չկան խիստ սահմաններ, մեկը կարող է տրանսֆորմացվել մյուս տեսակին՝ կախված բանող օրգանի պարամետրերից և մշակվող միջավայրի հատկանիշներից: Այս հաճախամանքը, որ իրոք տեղի է ունենում կտրում սայրով, և այն ունի էական նշանակություն, ամենից առաջ գութանի էներգետիկայում, բխում է $R_x = f(\delta)$ կապից (Ակ.6), որտեղ՝ R_x -ը գութանի քարշային դիմադրությունն է, ծ-ն խոփի սայրի հաստությունը: Ինչպես ցույց է տալիս գրաֆիկի տվյալների վերլուծությունը, բթացած սայրն զգալի մեծացնում է գութանի քարշային դիմադրությունը:



Ակ.6.Խոփի սայրի հաստության ծ ազդեցությունը գութանի քարշային դիմադրության R_x վրա:

Սայրով կտրման գործընթացը համեմատաբար մաքուր ձևում նկատվում է դանակների, կուլտիվատորային թաթիկների աշխատանքի ժամանակ:

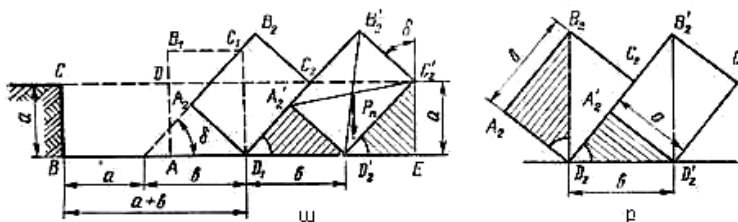
Առի շրջում: Այս խնդիրը դիտարկելիս ընդունվում է, որ առը չի ձևափոխվում, պահպանում է իր սկզբնական քառանկյունի ձևը՝ այս հատվածըվ: Այդ դեպքում ABCD առը թևի ազդեցության տակ նախ պտտվում է A կետի շուրջը, ստանում ուղղաձիգ դիրք, այնուհետև պտտվում D₁ կետի շուրջը, մինչև որ հենվի նախորդ շրջված առի վրա (նկ.7):

Դամաձայն նկ.7-ի դժվար չէ նկատել, D₁, D₂, D₂', D₂'' կետերի միջև հեռավորությունը հավասար է առի լայնությանը՝ b: Դժվար չէ նաև ապացուցել, որ շրջված առը կայուն կպառկի, եթե նրա ծանրության ուժը P_n անցնի հենման կետից D₂' աջ: Թե ինչ անկյան տակ պետք է շրջել առը և ինչ հարաբերությունը պետք է ուժենան նրա b և a չափերը կարելի է որոշել, եթե դիտարկենք առի անկյունը հավասարակշռության դիրքը, որի դեպքում ծանրության ուժը անցնում է քառանկյան անկյունագծով և հատվում է գետնին հպնան D₂ և D₂' կետերում: A₂B₂D₂ և D₂A₂'D₂' եռանկյունների նմանությունից կարելի է գրել՝

$$\frac{B_2 D_2}{D_2 D_2'} = \frac{A_2 B_2}{A_2 D_2}, \text{ կամ } \frac{\sqrt{a^2 + b^2}}{b} = \frac{b}{a} \text{ նշանակելով } \frac{b}{a} = k, \text{ կստա-}$$

նանք $k^4 - k^2 - 1 = 0$: Այս երկքառակուսի հավասարման լուծումից k -ի սահմանային մեծությունը ստացվում է $k_{np} \geq 1.27$: Այդ պայմանից կարելի է որոշել տվյալ ընդգրկման լայնության իրանով վարի ժամանակ առի հաստության ամենամեծ (թույլատրելի) չափը՝

$$\frac{b}{a_{\max}} = 1.27, a_{\max} \leq 0.8b: \quad (5)$$



Նկ.7. Գութանի իրանով առի շրջման սխեմա.
ա-կայուն դիրք, բ-անկայուն դիրք:

$$\text{Քանի որ } \sin \delta = \frac{a}{b} = \frac{1}{k}, \text{ ուստի առի շրջման անկյան սահմա-}$$

նային արժեքը կլինի մոտ 52° : Գլանակերպ թևերի համար երաշխավորվում է ընդունել $k = 1.3 \dots 1.8$, պտուտակային թևի համար՝ $k > 1.75$: Առի լրիվ շրջումը (180°) պտուտակային թևով կարելի է իրականացնել, եթե $k > 2.0 \dots 2.3$: Նախագութանիկով վարի ժամանակ առի թեքման անկյունը ավելի է փոքրանում, այդ պատճառով ընդունվում է՝ $k = 1$: Առանց նախագութանիկի վարի ժամանակ առի բավարար շրջումն իրականանում է $k = 1.5$ արժեքի դեպքում, փխրուն հողերի վարի ժամանակ ընդունվում է $k = 1.3$:

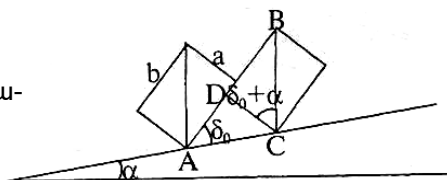
Հաճախ անհրաժեշտ է լինում վարված դաշտի մակերևույթն ստանալ այնպես, որ $B_2C_2B'_2$ բեկյալը լինի ամենամեծ չափի: Այդ բանն արվում է լույսի, ջերմության և քամու ազդեցության մեջացման նպատակով: Դիտարկենք այդ խնդիրը: Համաձայն նկ. 7-ի $B_2C_2+B_2B'_2 \rightarrow \max$: Ունենք $B_2C_2 = b \sin \delta, C_2B'_2 = b \cos \delta$: Գումարելով վերջին երկու մեջությունները և որոշելով այդ գումարի ածանցյալը ըստ δ -ի՝ կստանանք այն անկյան արժեքը, որի դեպքում վարի մակերևույթը ստացվում է $\text{ամենամեծը} \cdot \frac{\partial}{\partial \delta} [b(\cos \delta + \sin \delta)] = 0$ կամ

$\cos \delta - \sin \delta = 0$: Այս պայմանը տեղի ունի, եթե $\delta = 45^\circ$, կամ $k = 1.4$ պայմանով վարից հետո, եթե անհրաժեշտ է փոքրացնել դաշտի գոլորշիացման մակերևույթը, այն ցաքանվում է:

Լանջերի վարի ժամանակ առի շրջումը դեպի վեր կատարելու համար անհրաժեշտ է մեջացնել $\frac{b}{a}$ հարաբերությունը մինչև $k = 2$:

Կախված լանջի թեքության անկյունից α , առի անկայուն հավասարակշռության դիրքը փոխվում է՝ $\delta = \delta_0 + \alpha$, որտեղ՝ δ_0 -ն առի կազմած անկյունն է հորիզոնի հետ, δ_0 -ն առի կազմած անկյունը՝ լանջի թեքության հետ (նկ.8):

Նկ.8. Առի անկայուն հավասարակշռության դիրքը լանջում:



Համաձայն նկ.8-ի՝

$$\angle DCB = 90^\circ + \alpha - (90^\circ - \delta_0) = \alpha + \delta_0,$$

$$\text{ուստի՝ } \operatorname{tg}(\alpha + \delta_0) = \frac{b}{a} = k, \text{ մյուս կողմից՝ } \sin \delta_0 = \frac{a}{AC} = \frac{a}{b} = \frac{1}{k}:$$

Լուծելով համատեղ ստացված վերջին երկու արտահայտությունները կստանանք.

$$\operatorname{tg}\alpha = -k^3 + \sqrt{k^6 + k^4 - k^2 - 1} \quad (6)$$

Ստացած արտահայտությունը անհրաժեշտ է օգտագործել լեռնային գութանի նախագծման համար: Այս դեպքում վերցվում է k -ի այն մեջությունը, որը համապատասխան $\alpha = \alpha_{\max}$ արժեքին:

5. ԳՈՒԹԱՆԻ ՔԱՐՇԱՅԻՆ ԴԻՄԱՊՐՈՒԹՅՈՒՆԸ

Առի դեֆորմացիայի տեսակը, որով բնութագրվում է ոչ միայն վարի տեխնոլոգիական որակը, այլև՝ դիմադրությունը, պայմանավորված է իրանի տիպով և քանի որ հողը ոչ միանման է դիմադրում տարրեր տեսակի ազդեցություններին, ուստի դա հանգեցնում է նվազեցնելու կամ մեծացնելու նրա տեսակարար դիմադրությունը: Այսպես օրինակ ճիմահողի վարի ժամանակ կուլտուրական տիպի իրանը փոխարինելով պտուտակայինով՝ տեսակարար դիմադրությունը իջնում է մոտ 1.5 անգամ:

Անհրաժեշտ է նաև հիշել, որ խոփի քարշային դիմադրությունը կազմում է ամբողջ քանող մակերևույթի 50...60%-ը:

Ճիմահողի վարի ժամանակ նախագութանիկ օգտագործելով գութանի քարշային դիմադրությունը իջնում է 10%-ով, մինչդեռ ոչ կապակցված հողի վարի ժամանակ նախագութանիկը 10%-ով քարձուացնում է քարշային դիմադրությունը:

Ճիմահողի վարի ժամանակ սկավառակածն դանակների տեղակայումը յուրաքանչյուր իրանից առաջ 5...6%-ով իջեցնում է քարշային դիմադրությունը:

Իրանի հաշվարկային բեռնվածությունը: Իրանի հաշվարկային բեռնվածությունը որոշվում է նրա ամրության հաշվարկի նպատակով: Ամրության հաշվարկի համար հաշվի է առնվում հնարավոր առավելագույն դիմադրությունը, որը առաջանում է, եթե իրաններից որևէ մեկը հարվածում է անշարժ խոչընդոտի: Այդ պարագայում իրանի բեռնվածությունը կտրուկ աճում է ի հաշիվ տրակտորի և գութանի

իներցիայի ուժի: Ամրության հաշվարկները այդ բեռնվածության տակ կատարելը հանգեցնում է սխալ արդյունքների, քանի որ անհրաժեշտ կլիներ ստեղծելու չափազանց ծանր և մետաղատար գութան: Ընդունված է բազմահրան գութանների համար ապահովիչի հաշվարկային բեռնվածությունը ընդունել հավասար միջին դիմադրության R_x -ի կրկնակի մեծությանը $R_{\text{ապ}} = 2nR_x$, որտեղ n -ը իրանների թիվն է: Այս պայմանի դեպքում ամրող գութանը ենթարկվում է $2R_x$ քարշային դիմադրության, իսկ իրանների $n-1$ հատը՝ ենթարկվում է $(n-1)R_x$ դիմադրության: Վրդյունքում այն իրանը, որը հանդիպել է քարին կենթարկվի նշված դիմադրությունների տարրերությանը հավասար բեռնվածության, իսկ նրա ամրության հաշվարկային ուժը կլինի:

$$R_{h_2} = 2R_x n - (n-1)R_x = (n+1)R_x \quad (7)$$

Այսպիսով իրանի ամրության հաշվարկը պետք է կատարել իրանների թվից մեկով ավելի $(n+1)R_x$ միջին քարշային դիմադրության տակ:

Բազմահրան գութանների վրա տեղակայվող խմբակային ապահովիչը՝ հաշվարկվում է $2nR_x$ բեռնվածության տակ, իսկ անհատականը՝ կախովի գութանների վրա $(n+1)R_x$ բեռնվածության տակ:

Անտառանտեսական արտադրության մեջ վարը առավել աշխատատար գործընթաց է, այդ պատճառով առանձնահատուկ նշանակություն ունի քարշային դիմադրության որոշումը: Գութանի քարշային դիմադրությունը որոշվում է փորձնական ճանապարհով և տեսականորեն:

Վերլուծելով գութանի աշխատանքը՝ Վ.Պ.Գորյաչկինը ցույց տվեց, որ նրա քարշային դիմադրությունը քաղկացած է երեք կարգի դիմադրություններից՝ «մեռյալ» դիմադրություն, որը ծախսվում է շփման ուժերի և գութանը ակոսի հատակով քարշ տալու դիմադրության հաղթահարման վրա, $P_1 = f_0 G \cdot g$, որտեղ՝ f_0 -ն գութանը ակոսի բաց հատակով քարշ տալու գործակիցն է $f_0 = 0.5f$, f -ը արտաքին շփման գործակիցը, G -ն գութանի զանգվածը: Երկրորդ դիմադրությունը ծախսվում է առի կտրման վրա. $P_2 = kabn$, որտեղ՝ k -ն հողի տեսակարար դիմադրությունն է, a, b -ն առի հաստությունը և լայնությունն են, n -ը գութանի իրանների թիվը:

Երրորդ կարգի դիմադրությունը պայմանավորված է առին կինետիկ էներգիա հաղորդելու հետ: Յուրաքանչյուր միավոր ժամանակում թկի վրայով շարժվում է $abV'g$ զանգվածի հող: Յոդի մաս-

Նիկների շարժման արագությունը թևի վրայով V' -ը ուղիղ համեմատական է գութանի արագությանը՝ $V' = \varepsilon V$:

Գութանի հաստատուն արագության դեպքում շարժման քանակի օրենքը կգրվի $P_3 \Delta t = mV$, $P_3 = V \frac{\partial m}{\partial t} = Vm'$, որտեղ՝ m' - հողի վայրկյանային զանգվածն է, որը «հոսում է» թևի վրայով, կնշանակի $P_3 = VabV'^2 = \varepsilon gabV^2$, կամ վերջնականապես.

$$R_x = f_0 G \cdot g + kabn + \varepsilon gabV^2: \quad (8)$$

Այս բանաձևը կոչվում է ռացիոնալ մեխանիկայի տեսանկյունից, որտեղ առավել մեծ է երկրորդ անդամը, համեմատաբար փոքր՝ երրորդ անդամը:

Քանի որ f_0, k և ε գործակիցների որոշումը պրակտիկորեն դժվար է, այդ պատճառով ընդունված է գութանի քարշի ուժը որոշել հետևյալ բանաձևով.

$$R_x = Kabn \quad (9)$$

Որտեղ՝ K -ն գութանի տեսակարար դիմադրությունն է:

Տարբեր տիպի հեղերի տեսակարար դիմադրությունը տարբեր է և տատանվում է 20...130 կՊա սահմաններում:

Տեսակարար դիմադրության՝ K -ի որոշման համար դիմամոմետրով չափվում է գութանի լրիվ քարշային դիմադրությունը R_x -ը,

$$\text{իսկ } K = \frac{R_x}{abn}:$$

Գութանի օգտակար գործողության գործակիցը օգտակար դիմադրության հարաբերությունն է ընդհանուրին: Ռացիոնալ բանաձևում առաջին անդամը ոչ օգտակար, «մեջյալ» դիմադրություն է, այդ պատճառով.

$$\eta = \frac{kabn + \varepsilon nabV^2}{f_0 G \cdot g + kabn + \varepsilon nabV^2}: \quad (10)$$

Ռացիոնալ բանաձևի երրորդ անդամի օգտակարությունը բացատրվում է նրանով, որ յուրաքանչյուր անգամ նոր շրջվող առջ պետք է շարտվի հարկան բաց ակոսը՝ հաղորդելով որոշակի արագություն (էներգիա):

Վերջին ժամանակներս բարձր արագության գութանների ստեղծման կապակցությամբ նախագծողները հանդիպում են որոշ դժվարությունների՝ արագության քառակուսու չափով մեծանում է գութանի քարշային դիմադրությունը: Այդ պատճառով դիմադրության երրորդ անդամը ընդունվում է վնասակար և օ.գ.գ. որոշվում հետևյալ բանաձևով.

$$\eta_{\text{լա}} = \frac{kabn}{f_0 G \cdot g + kabn + \varepsilon abV^2} : \quad (11)$$

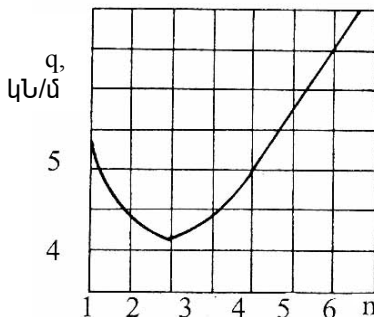
Վերջին բանաձևի վերլուծությունը ցույց է տալիս, որ գութանի զանգվածի G -ի մածացումը հանգեցնում է օ.գ.գ.-ի փոքրացմանը:

Կապ հաստատենք գութանի մետաղատարության $q = \frac{G}{bn}$ և

$\eta_{\text{լա}}$ -ի միջև: Այդ նպատակով (11) արտահայտության համարիչը և հայտարարը բաժանենք գութանի ընդգրկման լայնության ոబ-ի վրա.

$$\eta = \frac{\frac{ka}{\left(\frac{G}{nb}\right) \cdot g \cdot f_0 + ka + \varepsilon aV^2}}{\frac{ka}{q \cdot g \cdot f_0 + ka + \varepsilon aV^2}} \quad (12)$$

Մետաղատարության կախվածությունը իրանների թվից գրաֆիկորեն ներկայացվում է նկ.9-ում:



Նկ.9. Գութանի մետաղատարության q փոփոխությունը կախված իրանների n թվից:

Այդ գրաֆիկի վերլուծությունից պարզվում է, որ ամենափոքր մետաղատարությունը ունեն երեք իրանանի գութանները, որոնք և ապահովում են բարձր օ.գ.գ.: Իրանների թվի մեծացումը կամ փոքրացումը երեքից հանգեցնում է գութանի օ.գ.գ.-ի փոքրացմանը:

Գութանի կառուցվածքի կատարելության գնահատականը տրվում է նաև նրա օ.գ.գ.-ով: Կախովի գութանի օ.գ.գ.-ն սուր եզրով խոփով մոտ 0.8 է, բութով՝ 0.6: Կցվող գութանինը համապատասխանորեն՝ 0.75 և 0.56:

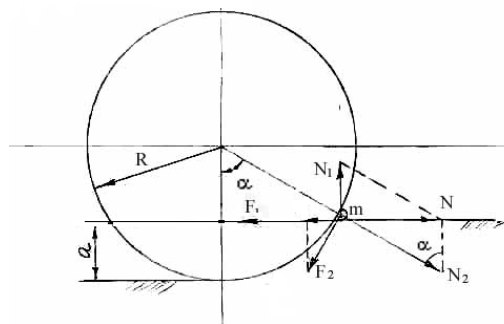
6. ԳՈՒԹԱՆԻ ԲԱՆՈՂ ՕՐՎԱՍՆԵՐԻ ՊԱՐԱՄԵՏՐԵՐԻ ՀԱՇՎԱՐԿԻ ՏԵՍՈՒԹՅՈՒՆԸ

Դանակի պարամետրերի հիմնավորումը: Ընդհանուր և հատուկ նշանակության գութանների վրա օգտագործվում են սկավառակաձև և կոթավոր՝ սուր և բուր անկյան տակ տեղակայվող դանակներ:

Դանակների պարամետրերը հաշվարկում են երկու տեսանկյունից՝ անրության և տեխնոլոգիական:

Սկավառակաձև դանակի հաստությունը՝ δ -ն ընտրվում է ամրության տեսակետից - $\delta=0.01D$, որտեղ՝ D -ն սկավառակի տրամագիծն է:

Սկավառակի մյուս պարամետրը տրամագիծն է $2R$ -ը, որը հաշվարկվում է տեխնոլոգիական տեսանկյունից՝ սկավառակի սայրին հանդիպած (m) արմատը (կամ այլ խոչընդոտ) պետք է կտրվի կամ մտցվի հողի մեջ (նկ.10):



Նկ.10. Սկավառակաձև դանակի տրամագիծի հիմնավորման ուժային սխեմա

Դիտարկենք այդ խնդիրը:

Սկավառակի սայրի և հողի մակերևույթի միջև ո խոչընդոտուի վրա ազդում են. N_1 նորմալ ուժը հողից, N_2 նորմալը սկավառակի սայրից, F_1 շիման ուժը N_1 նորմալից և F_2 -ը՝ N_2 նորմալից: N_1 և N_2 ուժերի գումարից առաջացած N համագործ ձգուում է խոչընդոտուի դուրս իրել, նրան արգելակում են F_1 և F_2 շիման ուժերի համագործ:

Դանաձայն առաջադրված պայմանի կարող ենք գրել.

$$N \leq F_1 + F_2 \cos \alpha : \quad (13)$$

Դանաձայն նկ.10-ի կարող ենք գրել.

$$F_1 = N_1 \operatorname{tg} \varphi_1 = N \operatorname{ctg} \alpha \operatorname{tg} \varphi_1, \quad F_2 = N_2 \operatorname{tg} \varphi_2 = \frac{N}{\sin \alpha} \operatorname{tg} \varphi_2, \quad \text{ուստի}$$

ստացված տվյալները տեղադրելով (13) հավասարման մեջ՝ կստանանք.

$$\begin{aligned} N &\leq N \operatorname{ctg} \alpha \operatorname{tg} \varphi_1 + N \operatorname{ctg} \alpha \operatorname{tg} \varphi_2, \quad \text{որտեղից} \\ \operatorname{tg} \alpha &\leq \operatorname{tg} \varphi_1 + \operatorname{tg} \varphi_2 : \end{aligned} \quad (14)$$

Ստացված (14) հավասարման α անկյունը արտահայտենք սկավառակի շառավղի R և ընթացքի խորությամբ (ա): Ընդունելով $\operatorname{tg} \varphi_1 + \operatorname{tg} \varphi_2 = \operatorname{tg} \varphi_0$, կարող ենք գրել $\alpha \leq \varphi_0$ և

$$\cos \alpha = \frac{R - a}{R} \geq \cos \varphi_0, \quad \text{որտեղից}$$

$$R > \frac{a}{1 - \cos \varphi_0} : \quad (15)$$

Ստուգման կարգով կատարենք ընդհանուր նշանակության գութանի դանակի տրամագծի հաշվարկ:

Մեր կողմից կատարված գիտափորձնական հետազոտություններով ստացված է $\operatorname{tg} \varphi_0 = 4...4.5$, ընդ որում

$\operatorname{tg} \varphi_1 = 1.0...1.2$, $\operatorname{tg} \varphi_2 = 2.8...3.0$: Նշենք որ $\operatorname{tg} \varphi_2$ -ի մեջ ընդգրկվում են հողի ներքին շիման գործակիցը, հողի կցման գործակիցը և արմատի և հողի միջև շիման գործակիցը:

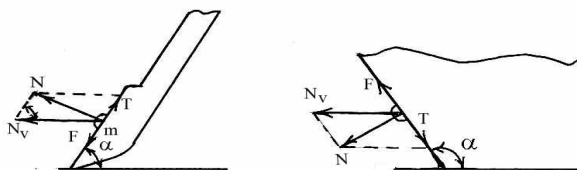
Դաշվարկի համար վատագույն պայմանը կունենանք $\operatorname{tg} \varphi_0$ -ի նվազագույն արժեքի դեպքում: Ունենք նաև $\alpha_{\max} = 14$ սմ, ուստի

$$\text{կստանամբ. } \varphi_0 = 75.9^\circ, \cos \varphi_0 \approx 0.24 \quad \text{և} \quad R > \frac{14}{1 - 0.24} = 18.42,$$

$D \geq 36.42$ սմ: Իրականում $D_{\text{իլ}} = 39$ սմ, ուստի հաշվարկային բանաձևի ճշտությունը հավաստի է:

Կորավոր դանակը տեղակայվում է սուր և բութ անկյան տակ: Սուր անկյան տակ տեղակայելուց այդ անկյան մեջությունը պետք է լինի այնքան, որ հանդիպած արմատը սահի դեպի վեր կամ կտրվի, բութի դեպքում՝ արմատը պետք է կտրվի կամ խորացվի հողի մեջ:

Դիտարկենք այդ խնդիրը (նկ.11):



Նկ.11. Կորավոր դանակի հաշվարկային սխեմա

ա-տեղակայման սուր անկյունով, բ-տեղակայման բութ անկյունով:

Խոչընդոտք՝ ու մասնիկը, հանդիպելով դանակի սայրին, առաջանում է N նորմալ հակագդումը, որի T բաղադրիչը աշխատում է ու մասնիկին դուրս բերել հողից, իսկ F շիման ուժը արգելակում է այդ գործընթացին:

Իրականում անհրաժեշտ է, որ $T > F$: Համաձայն նկ.11 ա-ի ունենեք. $T = N \text{ctg} \alpha$, $F = N \text{tg} \varphi$, ուստի $N \text{ctg} \alpha > N \text{tg} \varphi$, կամ.

$$\alpha < 90 - \varphi: \quad (16)$$

Դանակը գութանի վրա տեղակայվում է $70-75^\circ$ -ի տակ:
Համանման կարգով նկ.5.11, բ-ից ստացվում է $T > F$.

$$\alpha > 90 + \varphi: \quad (17)$$

7. ՀՈՌԻ ԼՐԱՑՈՒՑԻՉ ՄՇԱԿՄԱՍ ՄԵՔԵՆԱՆԵՐԻ ԲԱՆՈՂ ՕՐԳԱՆՆԵՐԻ ՊԱՐԱՄԵՏՐԵՐԻ ԿԱՇՎԱՐԿԻ ՏԵՍՈՒԹՅՈՒՆ

Կուլտիվատորներ: Ըստ նախատեսվածության կուլտիվատորները համարվում են. սլաքածև հարթահատ, սլաքածև ունիվերսալ, միակողմանի ածելիածև, փիսրիչ և սփերիկ սկավառակածև բանող օրգաններով:

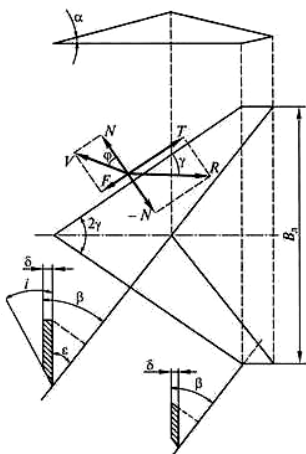
Սլաքածև թաթիկները բնութագրվում են հետևյալ պարամետրով - ընդգրկման լայնություն B_{λ} , փոփածքի անկյունը 2γ , թերի թեքության անկյունը β , թևի լայնությունը b , սայրի սրման անկյունը i և հաստությունը δ (նկ.12):

Ընդգրկման լայնությունը ընտրվում է հնարավորին չափ մեծ, սակայն այնքան, որ չխոչընդոտի ընթացքի խորությանը և չազդի ամրության թուլացման վրա: Ընդգրկման լայնությունը ստանդարտացված է և արտադրվում է հետևյալ չափերով՝ 145, 150, 220, 250, 260, 270, 300 և 330մմ: Միակողմանի թաթիկի ընդգրկման լայնության չափերն են՝ 85, 120, 150 և 165մմ: Բերված չափերը համապատասխանեցված են շարահերկ մշակաբույսերի միջշարթային հեռավորության հետ:

Թևի հաստությունը հաշվարկվում է նաև ամրության տեսանկյունից և տատանվում է 3...6նմ սահմաններում, հազվադեպ 10նմ (ունիվերսալ թաթիկների մոտ):

Փռվածքի անկյունը հիմնավորվում է հանդիպած արմատը կտրելու, հակառակ դեաքրում սահելու տեսանկյունից:

Դանաձայն նկ.12-ի դրասագի մոլախոտի արմատը թաթիկի սայրի երկարությամբ սահի անհրաժեշտ է, որ $T > F$, որտեղ՝ T -ն և N -ը հակազդման բաղադրիչներն են, F -ը արմատի և սայրի միջև շփման ուժը N հակագրումից:



Նկ.12. Սլաքածև թաթիկի փոփածքի անկյան (2γ) հիմնավորման սխեմա:

Նկարի համաձայն կարող ենք գրել $T=Nctg\gamma$, $F=Ntg\phi$, ուստի $Nctg\gamma > Ntg\phi$, կամ.

$$\gamma < 90 - \varphi_{\max}: \quad (18)$$

Շփման անկյան իրական արժեքը տատանվում է $\phi=25\dots56^\circ$ սահմաններում: Փռվածքի անկյունը տատանվում է $50\dots70^\circ$ սահմաններում:

Թեկության անկյունը β -ն ազդում է հողի փխրեցման աստիճանի վրա: Մեծ անկյունների դեպքում աճում է հողի փխրեցման աստիճանը, սակայն թողնում է ակոս, իսկ մոլախոտերը վատ են կտրտվում: Հարթահատ թաթիկների մոտ $\beta=18^\circ$, միակողմանինը՝ $\beta=15^\circ$, իսկ ունիվերսալինը՝ $\beta=28\dots30^\circ$, որով ստացվում է հողի լավ փխրեցում:

Փխրեցման α անկյունը մեծացնելուց՝ աճում է հողի փխրեցման ինտենսիվությունը, սակայն մեծանում է նաև ակոսակազմակերպման հավանականությունը: Հարթահատ թաթիկների մոտ $\alpha=10^\circ$, ունիվերսալինը՝ $\alpha=15\dots16^\circ$:

Սրման անկյունը i -ն կանխորոշում է մոլախոտերի քաղանանան որակը: Սլաքածն թաթիկները հիմնականում սրվում են վերկից $i=10\dots15^\circ$ սահմաններում, սայրի հաստությունը սրումից հետո կազմում է $0.2\dots0.3$ ն:

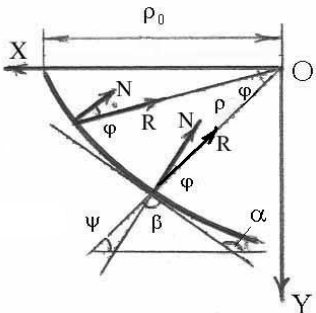
Փխրիչ թաթիկները բնութագրվում են հետևյալ պարամետրերով: Փխրեցման անկյուն α , կորության շառավիղ R , դրածն և շրջվող թաթիկների երկարությունները ℓ , լայնությունները B_λ , լայնական հատվածքի ձևերը և սրման անկյունները (նկ.5):

Փխրիչ թաթիկների փխրեցման անկյունը փոփոխվում է դրվածքի անկյունից $\alpha_{\min} = 10\dots15^\circ$ -ից մինչև առավելագույնը $\alpha_{\max} \leq 90^\circ$:

Կորության շառավիղը հաստատուն է և բնորոշում է փխրեցման անկյան փոփոխման ինտենսիվությունը՝ $\alpha_{\min}-\text{ից}$ մինչև α_{\max} ըստ թաթիկի բարձրության: Դրածն թաթիկների կորությունը $R=123.5$ և 250 նմ, շրջվող թաթիկով փխրիչինը՝ $R=217\dots266$ նմ:

Արտասահմանյան երկրների գյուղատնտեսական մեքենաշինությունը արտադրում է փոփոխական կորության շառավղով փխրիչ թաթիկներ, որոնք ի տարբերություն ուստական արդյունաբերության արտադրանքի ցուցաբերում են նվազագույն քարշային դիմադրություն և հողի փոշիացում, փխրեցման առավելագույն աստիճան: Այդպիսի

Փիսրիչների կողային պրոֆիլը ունի լոգարիթմական սպիրալի տեսք՝ $\rho = \rho_0 e^{-\psi \operatorname{ctg} \varphi}$, որտեղ ρ_0 -ն կորի սկզբնական շառավիղն է, ρ -ն բևեռային անկյան $\psi = 0$ արժեքի դեպքում, φ -ն շփման անկյունն է թաթիկի և հողի միջև։ Այդպիսի կորությամբ թաթիկի մակերևույթի վրա էլեմենտար հակազդումները dR հատվում են մի կետում՝ դաշտի մակերևույթի վրա (նկ.13):



Նկ.13. Լոգարիթմական սպիրալի տեսքով փիսրիչ թաթիկի ձևի հիմնավորման սխեմա:

Շրջվող թաթիկի երկարությունը ℓ -ը համեմատական է մշակման խորությամբ և լինում է 186, 250, 258, 260 և 265մն երկարությամբ։

Թաթիկի լայնությունը B_λ բնորոշում է հողի փիսրեցման աստիճանը, մեծի դեպքում փիսրեցման գործընթացը ընթանում է առավել ինտենսիվ։ Դրանք թաթիկների լայնությունը՝ $B_\lambda = 20$ մն, շրջվող թաթիկներով փիսրիչներինը՝ $B_\lambda = 35...65$ մն։

Կտրող սայրը նեղ ընդգրկման թաթիկների մոտ ուղիղ է, լայն ընդգրկման փիսրիչների մոտ՝ $2\gamma = 43...50^\circ$, սակայն լավագույնը համարվում է $2\gamma = 70^\circ$ -ը։

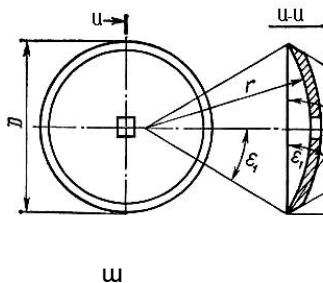
Սայրի սրման անկյունը $i = 20...25^\circ$ ։

Սֆերիկ սկավառակներ: Սկավառակային կուլտիվատորների աշխատանքը հողի լրացուցիչ մշակման գործում անհամեմատ մեծ է, ուստի նրա պարամետրերի հիմնավորման վրա կանգ առնենք առավել մանրամասն։

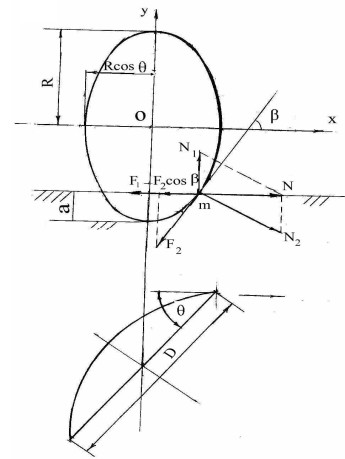
Սկավառակները լինում են հարթ և կտրությով սայրով։ Յողի հետ փոխազդեցությունը կախված է սկավառակի զանգվածից ո, գրոհի անկյունից թ և կորության շառավղից։

Կորության շառավիղը r -ը բնութագրում է սկավառակի փիսրեցնող և շրջող հատկությունները։ Որքան փոքր է կորության շառավիղը այնքան բարձր է հողի փիսրեցման և շրջման ինտենսիվությունը։

Կուլտիվատորների և երեսվարիչների համար ընդունված է $r=169\text{մմ}$, $\varepsilon_1=26\ldots 32^\circ$, ստացվում է $D=450\ldots 610\text{մմ}$:



ա



բ

Նկ.14. Սֆերիկ սկավառակի հիմնական պարամետրերի հիմնավորման սխեմա (ա) և տրամագծի D հիմնավորման սխեմա (բ):

Համաձայն նկ.14. ա-ի

$$r = \frac{D}{2 \sin \varepsilon_1} : \quad (19)$$

Տեխնոլոգիական գործընթացի որակը զգալիորեն կախված է սկավառակի սայրի սրումից, որը բնութագրվում է սրման և անկյունով և բացակի (ծոծրակի) ε_2 անկյունով: Սկավառակները սրվում են արտաքին կողմից $i=10\ldots 20^\circ$: Ծանր կուլտիվատորների սկավառակները, որոնք նախատեսված են ամուր հողերի մշակման համար, սրվում են ներսի կողմից: $\alpha=i+\varepsilon_2$ կոչվում է կտրման անկյուն:

Սկավառակի տրամագիծը D-ն որոշվում է կախված մշակման խորությունից a-ից և ընդունված է այն հաշվել $D=ka$ բանաձևով, որտեղ $k=5\ldots 6$: Սակայն տրամագծի մեծության օպտիմալ չափը կախված է նաև նրա սայրին հանդիպած արմատի կտրտման, կամ հողի մեջ խորացնելու պայմանից: Դիտարկենք այդ խնդիրը:

Աշխատանքի ընթացքում, շարժման ուղղությամբ սկավառակը, ի տարբերություն գութանի դանակի պատկերվում է էլիպսի տեսքով, որի պատճառով պահանջվում է խնդրի լուծման նոր մոտեցում: Յողի մակերեսի հետ սկավառակի համան կետում հանդիպած արմատի (m) վրա ազդում են երկու նորմալ ուժեր՝ N_1 -ը հողի մակերևույթի կողմից և N_2 -ը սկավառակի կողմից: Այդ երկու ուժերի համագործ՝ N -ը ձգում է արմատը դուրս հրել, նրան խոչընդոտում են շփման ուժերը: F_1 -ը և F_2 -ի $F_2 \cos \beta$ բաղադրիչը:

Առաջադրված պայմանը ներկայացվում է հետևյալ արտահայտությամբ. $N < F_1 + F_2 \cos \beta$: Այս արտահայտության մեջ տեղադրելով $F_1 = N_1 \operatorname{tg} \varphi_1 = \frac{N}{\cos \beta} \operatorname{tg} \varphi_1$,

$$F_2 \cos \beta = N_2 \operatorname{tg} \varphi_2 \cos \beta = \frac{N}{\sin \beta} \operatorname{tg} \varphi_2 \cos \beta \quad \text{և} \quad \text{կատարելով} \quad \text{որոշ} \quad \text{ձևափոխություններ կստանանք.}$$

$$\operatorname{tg} \beta = \operatorname{tg} \varphi_1 + \operatorname{tg} \varphi_2 = f_1 + f_2 = f, \quad (20)$$

որտեղ՝ φ_1 -ը արմատի և հողի միջև, φ_2 -արմատի և սկավառակի միջև շփման անկյուններն են:

Արտահայտենք β անկյունը սկավառակի պարամետրերով: Այդ նպատակով որոշենք էլիպսի ու կետում շոշափողի կազմած անկյունը

x -երի առանցքի հետ՝ $\operatorname{tg} \beta = \frac{dy}{dx}$: Ունենք էլիպսի հավասարումը.

$$\frac{y^2}{R^2} + \frac{x^2}{R^2 \cos^2 \theta} = 1, \quad \text{ուստի} \quad \text{ու} \quad \text{կետում} \quad y=(R-a) \quad \text{արժեքի} \quad \text{համար} \quad \text{կստանանք.}$$

$$R \geq \frac{a(1+f^2 \cos^2 \theta \pm \sqrt{1+f^2 \cos^2 \theta})}{f^2 \cos^2 \theta}: \quad (21)$$

Ստացված արտահայտության հավաստիությունը ստուգվում է գիտափորձնական ճանապարհով, ուստի իմանալով ընդհանուր շփման գործակցի՝ $f=f_1+f_2$ արժեքը, տվյալ հողային պայմանների համար անհրաժեշտ գրոհի անկյունը θ և առաջադրված մշակման խորությունը որոշվում է սկավառակի տրամագիծը՝ $D=2R$ և ընտրվում համապատասխան սկավառակային կուլտիվատոր:

8. ԲԱՆՈՂ ՕՐԳԱՆՆԵՐԻ ՏԵՂԱԿԱՅՈՒՄԸ ԿՈՒԼՏԻՎԱՏՈՐԻ ՇՐՋԱՆԱԿԻ ՎՐԱ

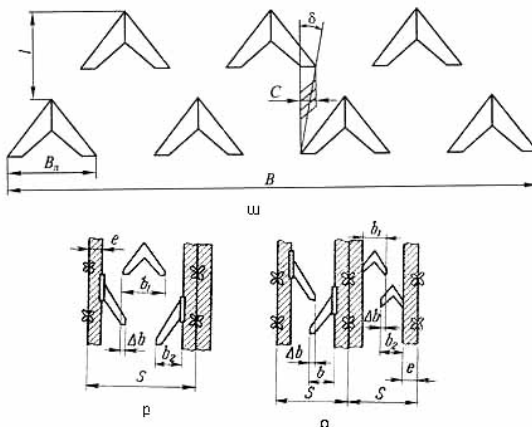
Բանող օրգանների տեղակայումը կարևոր տեխնիկական միջոցառում է և կատարվում է կուլտիվատորային ազրեգատը դաշտ դուրս գալուց առաջ: Սլաքած թարիկների տեղակայումը ինչպես համատարած, այնպես էլ միջջարքային մշակման ժամանակ, կատարվում է այնպես, որ մշակման գոտու մոլախոտերը ամբողջությամբ կտրտվեն, իսկ հողի փխրեցումը իրականացվի առանց խարակների:

Նշված ազրոտեխնիկական պահանջների բավարարման համար անհրաժեշտ է թարիկները շրջանակի վրա տեղակայել երկու կամ երեք շարքով իրարից ℓ հեռավորության վրա (նկ.14.ա).

$$\ell = \Delta b \operatorname{ctg} \delta \quad (22)$$

որտեղ՝ Δb -ն վերածածկի մեծությունն է ($\Delta b = 5...7$ սմ), որը պետք է լինի այնքան, որ կուլտիվատորը ուղղագիծ շարժումից շեղվելուց $\delta = 7...10^\circ$ անկյան տակ խարակներ չստացվեն: Այսպիսով կստանանք $\ell = 40...50$ սմ:

Առաջին և երկրորդ շարքի թարիկների բերնվածությունը հավասարեցնելու նպատակով ընդունվում է $b_2 > b_1$ (նկ.15):



Նկ.15.Կուլտիվատորի թարիկների տեղակայումը

ա-համատարած մշակման, բ-շարահերկ եռաշարք, գ-շարահերկ երկշարք:

Շարահերկ կուլտիվատորների վրա թաթիկները տեղակայվում են՝ հաշվի առնելով միջադրային հեռավորությունը S և բուսապաշտպան գոտու լայնությունը e -ն (մկ.15.բ,գ):

Թաթիկների լայնությունը հաշվարկվում է՝ կախված շարքերի թվից.

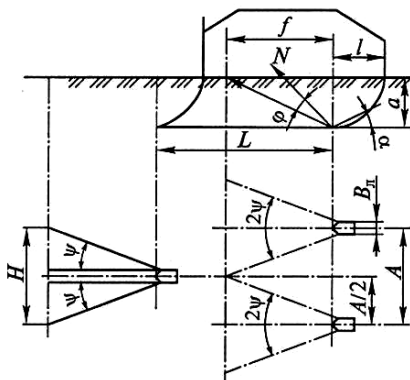
Երկշարք տեղակայման դեպքում

$$b_1+b_2=S+(\Delta b-2e): \quad (23)$$

Եռաշարքի դեպքում՝

$$b_1+2b_2=S+(\Delta b-e): \quad (24)$$

Փխրիչ թաթիկների տեղակայման ժամանակ հաշվի է առնվում հողի դեֆորմացիայի գոտին: Թաթիկները շարքում և շարժման ուղղությամբ տեղակայվում են այնպես, որ հողի դեֆորմացիայից հետո հարևան թաթիկների միջև կոշտը չբռնվի, այսինքն ապահովվի (25) պայմանը:



Նկ.16. Փխրիչ թաթիկների տեղակայումը շրջանակի վրա

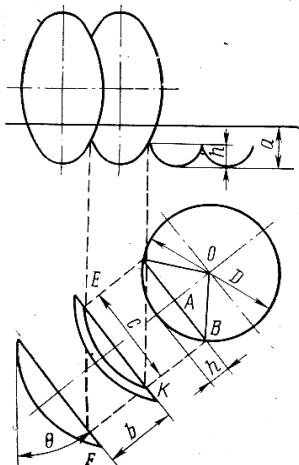
$$\left. \begin{array}{l} L > l + \operatorname{atg}(\alpha + \varphi), \\ A > B_A + 2\operatorname{atg}\psi \end{array} \right\} \quad (25)$$

որտեղ՝ l -ը թաթիկի կառուցվածքային պարամետր է, a -ն մշակման խորությունը, B_A -ն թաթիկի լայնությունը, α -ն թաթիկի դրվածքի անկյունը, $\varphi=20...25^\circ$ շիման անկյունը թաթիկի և հողի միջև, $\psi=45...55^\circ$ դեֆորմացիայի անկյունը:

Որոշակի հետաքրքրություն է ներկայացնում կուլտիվատորի սկավառակների տեղակայումը մարտկոցի առանցքի վրա (նկ.17):

Աշխատանքի ընթացքում մարտկոցի յուրաքանչյուր սկավառակ հողից կտրում է որոշակի չափի առև և կազմավորում ակոս: Ակոսների միջև կազմավորվում է հ բարձրությամբ թմբիկ, որի մեջությամբ գնահատվում է հողի մշակման որակը:

Թմբիկի բարձրությունը կախված է սկավառակի տրամագծից D, սկավառակների միջև հեռավորությունից b և գրոհի անկյունից θ: Թմբիկի բարձրության բույլատրելի սահմանը, ագրոպահանջների համաձայն, $h \leq 0,5a$, որը ապահովելու համար, կուլտիվացիայի ընթացքում կարգավորվում է գրոհի անկյունը θ-ն, իսկ նախագծման ժամանակ սկավառակների հեռավորությունը b-ն:



Նկ.17.Մարտկոցի առանցքի վրա սկավառակների տեղակայման հաշվարկի սխեմա:

Համաձայն նկ. 17-ի կարող ենք գրել.
 $(D/2)^2 = (D/2-h)^2 + (C/2)^2$, ձևափոխելով կստանանք $h^2 - Dh + C^2/4 = 0$: Ունենք նաև $C = b \operatorname{ctg} \theta$, ուստի կստանանք.

$$\operatorname{ctg} \theta = 2\sqrt{Dh - h^2} / b, \text{ որտեղ } h \leq 0,5a :$$

Համատեղ լուծումից կստանանք հետևյալ վերջնական բանաձևը.

$$\operatorname{ctg} \theta \leq \sqrt{a(2D-a)} / b : \quad (26)$$

9. ՑԱՔԱՆՆԵՐ

Ատամնավոր ցաքաններ: Ատամնավոր ցաքանները նախատեսված են հողի փխրեցնան, մակերևույթային շերտի խառննան, մոլախոտերը հանելու և դաշտի նակերևույթը հարթեցնելու համար: Ցաքանի ատամները լինում են քառակուսի և կլոր հատվածքով: Ծանր և միջին ցաքանների վրա դրվում են քառակուսի հատվածքով ատամներ, թերեւ ցաքանների վրա՝ կլոր: Ցաքանի ատամները հողի վրա ներազդում են ինչպես երկնիստ սեպեր՝ β , յ հաստատուն անկյուններով: Ատամների տեղակայումը բնութագրվում է ա անկյունով, որից մեծ չափով կախված է հողի հետ նրա փոխազդեցության բնույթը: $\alpha = \pi/2$ արժեքի դեպքում ցաքանը հողի մեջ խորանում է ծանրության ուժով և փխրեցումը կատարվում է առանց ներքի խոնավ շերտը վեր հանելու: $\alpha < \pi/2$ տեղակայման անկյան դեպքում հողի ներքեկի շերտերը վերև են հանվում:

Ցաքանի ատամնային դաշտի կառուցումը: Ատամնային դաշտի կառուցումը պետք է ապահովի ցաքանի հանգիստ և հավասարակշռված աշխատանքը, հողի մակերևույթային շերտերի հետ ատամների հավասարաչափ ազդեցություն: Յուրաքանչյուր ատամ պետք է ունենա իր ուրույն հետքը և հետքերի հեռավորություններն իրարից պետք է հավասար լինեն: Առաջադրված պայմաններին բավարարում է այն ատամնային դաշտը, որը ստացվում է հարթության վրա բազմներաց պտուտակային գծի փուլմից, եթե յուրաքանչյուր պտուտակային գծի վրա հավասարաչափ տեղակայվում են ատամները: Պտուտակային գծի երկարությունը՝ $L=M\ell/M$ -ը ատամների թիվն է՝ պտուտակային գծի վրա, ℓ -ատամների հեռավորությունն է իրարից: Քանի որ բազմներաց պտուտակի մեջ պտուտակային գծերը հավասարահեռ են իրարից, ուստի նրանց ընդլայնական հեռավորությունը $b=t/k$, որտեղ՝ t -ն պտուտակի քայլն է, k -ն պտուտակային գծերի թիվը: Ակնհայտ է, որ b հատվածքի վրա ամենաշատ հետքերի թիվը կլինի M հատ (նկ.18):

Քանի որ ատամները բոլոր պտուտակային գծերի վրա տեղակայված են նույն հավասարաչափությամբ, ուստի բոլոր առաջին ատամները նստած են $1-1$, երկորդինը՝ $2-2$ և այլն, ծնիջների վրա: Ծնիջները փոխարինելով ձողերով, կստանանք M հատ ընդլայնական ձողը: Միջշարքային տարածությունը նշանակելով a -ով, կստանանք $b=Ma=t/k$ կամ $t=bk=Mka$, այսինքն՝ t քայլի վրա տեղավորվում է Mk միջշարքը: Ատամների տեղը որոշվում է պտուտակային գծերի և ընդլայնական ձողերի հատման կետերով: Եթե վերցնենք անսահման երկարության պտուտակ և փուենք, ապա ամբողջ դաշտը կծածկվի

ատամներով, որոնք այն կրաժանեն հավասար եռանկյունիների: Դրանց մի կողմը կազմվում է ընդլայնական ծողերով, մյուս կողմը՝ պտուտակային AB գծով, իսկ երրորդ կողմը՝ CD , որը կարելի է դիտարկել որպես հակառակ ընթացքի պտուտակի փռվածք:

Այսպիսով, ստացվում է $t+t_1=MB$: $t=kb$ արտահայտությանը համանման ստացվում է $t_1=k_1b$, ուստի $k_1b+kb=MB$ կամ $k_1+k=M$:

Եզրահանգումներ:

1. M -ի և k -ի ընտրության ժամանակ խուսափել այնպիսի թվերից, որոնք կունենան ընդհանուր բազմապատիկ, քանի որ վերջինը բնութագրում է մի հետքով անցնող ատամների թիվը:

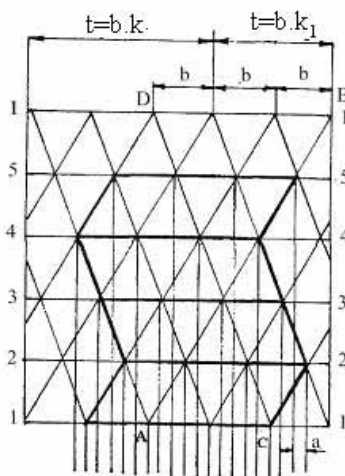
2. Խուսափել $M=k+1$ թվից, քանի որ ստացվում է $k_1=1$, այսինքն պտուտակային գիծը մի ընթացքանի է, որը ցաքանի ընթացքը դարձնում է անհանգիստ:

3. Սահմանափակվել $k < M$ պայմանով:

Ժամանակակից ցաքանների ատամնային դաշտի կառուցման համար ընդունվում է $M=5$, $k=3$, $k_1=2$:

Ցաքանի քարշի ուժի ուղղությունը հորիզոնի հետ կազմում է $15\ldots20^\circ$: Քարշի ուժի ուղղությունը անցնում է ծանրության կենտրոնի հետքին մոտ, որը ապահովում է ցաքանի հանգիստ աշխատանքը:

Ծանր (մեկ ատամի վրա ընկած բեռը 21 Ն) և միջին (մեկ ատամի վրա ընկած բեռը 17.5 Ն) ցաքանները կարող են աշխատել



Նկ.18. Ցաքանի ատամնային դաշտի կառուցման սխեմա

բարձր արագության տակ (12...13կմ/ժ), թեթև՝ (ատամի թեռը 8 Ն) մինչև 7...8 կմ/ժ արագությամբ:

Սկավառակավոր ցաքաններ: Սկավառակավոր ցաքանների սկավառակների տրամագիծը $r=109,169,220$ մ, գրոհի անկյունը $\theta=10-22^\circ$, կենտրոնական անկյունը $\varepsilon_1=22-26^\circ$, սայրի սրման անկյունը $i=10-25^\circ$: Այս ցաքանների պարամետրերի հաշվարկի տեսությունը նույնն է ինչ որ կուլտիվատորային սկավառակներինը (բանաձևեր 16, 18, 23):

Գլանվակներ: Գլանվակները պատկանում են հողի մակերեսային մշակման բանող օրգանների թվին, քանի որ կատարում են տեխնոլոգիական գործողություն՝ հողի խտացում:

Գլանվակները օգտագործվում են մինչև ցանքը՝ դաշտի մակերևույթի հարթեցման, կոշտերի ջարդելու և վարված հողը խտացնելու համար և ցանքից հետո լավացնելու սերմի հպումը հողի հետ և ներքևի շերտերից խոնավության հոսքը դեպի սերմերը ինտենսիվացնելու նպատակով:

Գլանվակների պարամետրերն են տրամագիծը D-ն և լայնությունը b-ն: Տրամագիծը պետք է լինի այնքան, որ առջևում պատահած կոշտը կամ ջարդվի կամ ներսեղմվի հողի մեջ, միայն թե առջևից չիրվի: Այդ պահանջներին բավարարում է հետևյալ պայմանը.

$$R \geq r \operatorname{tg}^2 \frac{\varphi_1 + \varphi_2}{2}, \quad (27)$$

որտեղ՝ R-ը գլանվակի շառավիղն է, r-ը կոշտի շառավիղը, φ_1 -ը և φ_2 -ը համապատասխանողեն շփնան անկյունները կոշտը դաշտի մակերևույթի և գլանվակի հետ:

Գլանվակի երկարությունը ընդունվում է հարթավայրում 2մ, լանջում 1.0մ:

Գլանվակի քարշային դիմադրությունը՝

$$T = 0.86 \sqrt[3]{\frac{Q^4}{b q_0 D^2}}, \quad (28)$$

որտեղ՝ Q-ն գլանվակի բեռնվածությունն է, b-ն երկարությունը, D-ն տրամագծը և q_0 -ն հողի ծավալային տրորման գործակիցը:

Անվահետքի խորությունը, որը բնորոշում է գլանվակման որակը՝

$$h = 1.31 \sqrt[3]{\frac{Q^2}{b^2 q_0^2 D}} : \quad (29)$$

Ոչ հարթ մակերևույթով գլանվակի քարշային դիմադրությունը հարթի համեմատությամբ մեծ է $k=1.1 \dots 1.3$ անգամ:

10. ՖՐԵԶԱՅԻՆ ՄԵՔԵՆԱՍԵՐԻ ՊԱՐԱՍԵՏՐԵՐԻ ՂԱՇՎԱՐԿԻ ՏԱՐՐԵՐԸ

Ֆրեզի աշխատանքի տեխնոլոգիական որակը բնութագրվում է յուրաքանչյուր դանակով կտրված հողային տաշեղի հաստությամբ, որը իր հերթին ֆունկցիա է R շառավիկով դանակի շրջագծային արագության ωR և մեքենայի շարժման արագության V_M հարաբերությունից $\lambda = \frac{\omega R}{V_M}$, որտեղ՝ ω -ն ֆրեզի պտտման հաճախությունն է:

Նշված հարաբերությունը λ -ն կոչվում է կինեմատիկական ցուցիչ, որի մեծ լինելու դեպքում տաշեղի հաստությունը ստացվում է փոքր: Ընդունվում է $\lambda=2 \dots 16$, λ -ի փոքր արժեքը $\lambda=2 \dots 6$ օգտագործվում է փուլսի հողերի մշակման համար, մեծ արժեքները՝ $\lambda=4 \dots 16$ ծիմահողի, ճահճային և չոր հողերի մշակման համար:

Կինեմատիկական ցուցիչը որքան էլ մեծ վերցնենք, միևնույն է փիստեցված հողի ներքեւում մնում է չնշակված մաս, որը բնութագրվում է թթվիկի հ բարձրությամբ և որի թույլատրելի մեջությունը կախված է մշակման խորությունից $h \leq 0,2a$: Գտնենք $\lambda=f(h)$ կապը:

Օգտվելով նկ.19-ից կստանանք ֆրեզի բոլոր հաշվարկային պարամետրերը:

Դանակի ծայրի շարժման հավասարումը.

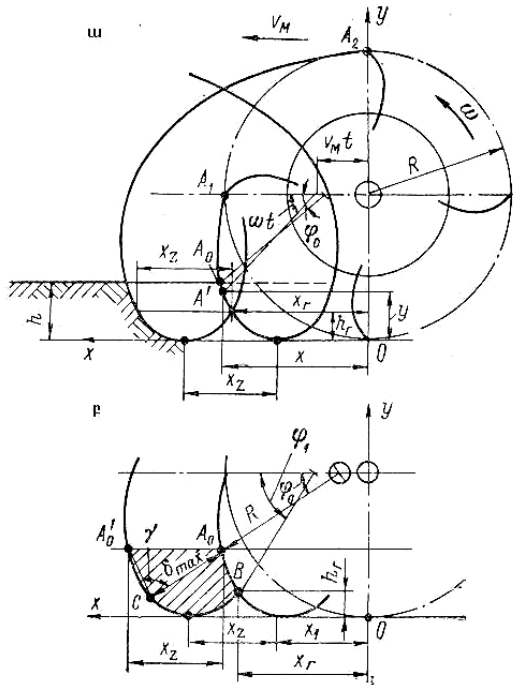
$$\left. \begin{aligned} X &= V_M t + R \cos \omega t, \\ Y &= R(1 - \sin \omega t); \end{aligned} \right\} \quad (30)$$

Դանակը հող մտնելու պահին՝ A_0 կետում $y=a$, ուստի (30) հավասարումից կստանանք $\sin \omega t = \sin \varphi_0 = 1 - \frac{a}{R} = 1 - m$ Ընդունելով, որ հող մտնելու պահին հետագծի շոշափողը ուղղահայաց է OX առանցքին՝ կստանանք

$$\frac{dX}{dt} = V_M - \omega R \sin \varphi_0 = 0, \quad \text{որտեղից}$$

$$\sin \varphi_0 = \frac{1}{\lambda}, \quad \text{կամ } 1 - m = \frac{1}{\lambda}, \quad \text{և}$$

$$\lambda = \frac{1}{(1-m)} : \quad (31)$$



Նկ.19. Ֆրեզի հաշվարկային սխեմա.

ա-Ֆրեզի շարժման կինեմատիկան,
բ-դանակի կտրած հողային տաշեղի հաստության որոշման սխեմա:

Ստացված պայմանը անհրաժեշտ է, քայլ ոչ բավարար: Անհրաժեշտ է հաշվի առնել այլ գործոններ՝ ակոսատակի թմբիկի բարձրությունը և մատուցումը:

Մեքենայի անցած ճանապարհը թմբուկի մեկ պտույտի ժամանակ $T = \frac{2\pi}{\omega}$, կլինի

$X_{\text{os}} = V_M \frac{2\pi}{\omega} = \frac{2\pi R}{\lambda}$: Այս ճամապարհի վրա աշխատում են Z դանակներ, ուստի մեկ դանակի մատուցումը կլինի.

$$X_z = \frac{2\pi R}{\lambda Z} : \quad (32)$$

Տեսականորեն $y=h=R(1-\sin\varphi_1)=R(1-\sin\omega t_1)$:

Այդ նույն կետում (B) $X_2=X_1+X_z/2$, իսկ $X_1=V_M t + R \cos \omega t$, որտեղ՝ $\omega t=90^\circ$, $t=\frac{\pi}{2\omega}$, ուստի $X_1=V_M \frac{\pi}{2\omega}$, $X_2=(\pi R / \lambda)(0.5 + \frac{1}{Z})$:
Կարող ենք գրել նաև

$X_2 = V_M \frac{\varphi_1}{\omega} + R \cos \varphi_1 = \frac{\varphi_1 R}{\lambda} + R \cos \varphi_1$: Յավասարեցնելով վերջին երկու հավասարումները և հաշվի առնելով $h_r = R(1 - \sin \varphi_1)$ կստանանք.

$$\lambda = R \left[\pi(0.5 + 1/z) - \arcsin(1 - h/R) \right] (2Rh - h^2)^{-0.5} : \quad (33)$$

Ստացված բանաձևի մեջ տեղադրելով R, Z և $h \leq 0.2a$ արժեքները կստանանք ֆրեզի աշխատանքի անհրաժեշտ ռեժիմ՝ ժամանակակից ֆրեզների շարժման արագությունը տատանվում է $1.1...1.7$ մ/վ ($4...6$ կմ/ժ) սահմաններում, դանակների թիվը $Z=3...12$, ծիմահողի ֆրեզման ժամանակ $X_Z=3...6$ սմ և հնավար հողերի համար $X_Z=10...15$ սմ, թիվուկների տրամագիծը $2R=225...800$ սմ, մշակման խորությունը $a=12...16$ սմ, ճահճային ֆրեզինը՝ $a=25...45$ սմ:

Ֆրեզները աշխատում են մինչև 13 մ/վ շրջագծային արագությամբ:

11. ՀՈՂԻ ԼՐԱՑՈՒՑԻՉ ՄՇԱԿՄԱՍ ՄԵՔԵՆԱՆԵՐԻ ՔԱՐՇԱՅԻՆ ԴԻՄԱՊՐՈՒԹՅՈՒՆԸ

Երեսվարիչների, ցաքանների և կուլտիվատորների աշխատանքի ժամանակ որոշակի չեն առի ընդլայնական հատվածի չափերը, այդ պատճառով դրանց քարշային դիմադրությունը որոշվում է մոտավոր բանաձևով.

$$R_x = KB, \quad (34)$$

որտեղ՝ K -ն մեքենայի տեսակարար դիմադրությունն է, մ/մ, B -ն մեքենայի ընդգրկման լայնությունը, մ:

Մեքենայի տեսակարար դիմադրությունը կախված է արտաքին շատ ազդակներից՝ հողի ֆիզիկատեխնոլոգիական հատկություններից, մշակման խորությունից, շարժման արագությունից և այլն:

Սուորս բերվում են հողի մակերեսային մշակման առավել տարածված մեքենաների տեսակարար դիմադրության K արժեքները.

Մեքենայի անվանումը	Զափման միավոր կն/մ
Ատամնավոր ցաքաններ (ծանր)	0.6...0.9
Ատամնավոր ցաքաններ (միջին)	0.4...0.7
Ցանցավոր ցաքաններ	0.4...0.65
Չսպանակավոր ցաքաններ	1.5...4.0
Մարզագետնային ցաքաններ (դանակածն ատամներով)	1.5...2.3
Սկավառակավոր ցաքաններ	1.9...2.2
Սկավառակավոր ցաքաններ (ծանր)	4.0...8.0
Սկավառակավոր երեսվարիչներ	1.2...2.6
Խոփավոր երեսվարիչներ	2.0...4.0
Կուլտիվատորներ՝ հարթահատ թաթիկներով	1.2...2.4
Կուլտիվատորներ՝ ձողավոր	1.6...2.6
Գլանվակներ՝ օղախթանավոր	0.5...0.7
Գլանվակներ՝ հարթ ջրալեցուն	1.0...1.2

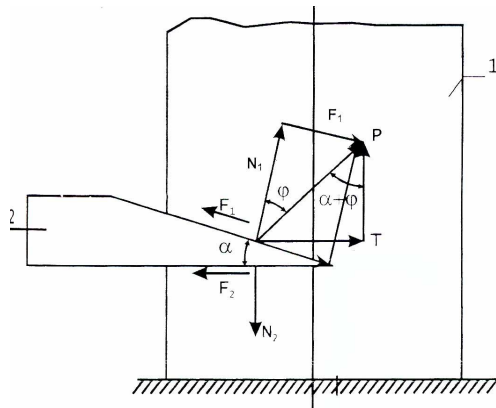
12. ՀԱՐԹ ՍԵՊԻ ՏԵՂԱԿԱՅՄԱՆ ԱՆԿՅԱԼ ՉԻՄՍԱՎՈՐՈՒՄԸ

Սեպի տեղակայման ամկյան մեծությունը հիմնավորվում է նյութի, նվազագույն էներգետիկական ծախսումներով, կտրման տեսանկյունից:

Օգտվելով սեպի վրա ազդող ուժերի հավասարակշռության պայմանից՝ տեղափոխությունը հաստատուն արագությամբ, համաձայն նկ. 20-ի կարող ենք գրել.

$$P \sin(\alpha + \varphi) = [N_2 - P \cos(\alpha + \varphi)] \operatorname{tg} \varphi \quad (35)$$

որտեղ՝ P -ն սեպի վրա ազդող F_1 և N_1 ուժերի համագորն է, N_1 -ը սեպի բանող մակերևույթի վրա ազդող նորմալ ուժն է, F_1 -ը համապատասխան շփման ուժը, N_2 -ը սեպի հենարանային մակերևույթի վրա ազդող նորմալ ուժը, α -ն սեպի դրվածքի անկյունը, φ -ն սեպի և մշակվող նյութի միջև շփման անկյունը:



Նկ.20. Սեպի դրվածքի անկյան (α) հիմնավորման սխեմա.

1-կտրվող նյութ, 2-սեպ

Վերը բերված հավասարման մասնակի ածանցյալը ըստ սեպի դրվածքի անկյան (α) հավասարեցնելով զրոյի կստանանք α անկյան լավարկված մեծությունը, որը կապահովի սեպի քարշային դիմադրության նվազագույն արժեքը.

$$P \cos(\alpha + \varphi) = P \sin(\alpha + \varphi) \operatorname{tg} \varphi, \text{ որտեղից}$$

$$\begin{aligned} \operatorname{tg}(\alpha + \varphi) &= \operatorname{ctg} \varphi = \operatorname{tg}(90 - \varphi), \\ \alpha &= 90 - 2\varphi \end{aligned} \quad (36)$$

Հողի և պողպատի միջև շփման անկյան և շփման գործակցի արժեքները ներկայացվում են ստորև աղյուսակում:

Հողի տեսակը	Շփման գործակիցը	Շփման անկյունը
	$F = \operatorname{tg} \varphi$	φ , աստիճան
Ավագային և ավագակավային (փխրուն)	0,25...0,35	14...20
Ավագային և ավագակավային (կապակցված)	0,5...0,7	26...35
Թեթև և միջին կավապագային	0,35...0,5	19...26
Ծանր կավապագային և կավ	0,4...0,9	22...42

Գյուղատնտեսական մշակաբույսերի ցողունների և պողպատի միջև շփման գործակիցները տատանվում են 0,4...0,8 սահմաններում:

Կտրվող նյութի և պողպատի միջև շփման անկյան փոփոխական բնույթը կախված նաև խոնավությունից ցույց է տալիս, որ սեպի դրվածքի անկյունը մերենայի վրա պետք է լինի կարգավորվող՝ հողի համար $\alpha = 6^\circ \dots 62^\circ$, ցողունների համար $\alpha = 22^\circ \dots 39^\circ$:

ԲՈՎԱՆԴԱԿՈՒԹՅՈՒՆ

ՀՐՈՂԻ ՄԾԱԿՄԱՆ ՄԵՔԵՆԱՆԵՐԻ ԲԱՍՈՂ ՕՐԳԱՆՆԵՐԻ ՊԱՐԱՍԵՏՐԵՐԻ ՀԱՇՎԱՐԿԻ ՏԵՍՈՒԹՅԱՆ ՏԱՐՐԵՐԸ	3
1. ՍԵպը որպես հողամշակման գործիքների հիմք և նրա փոխազդեցությունը հողի հետ	4
2. Հողի դեֆորմացիան սեպով	7
3. Գուբանի իրամի խոփ-քև մակերևույթի կառուցման ընդհանուր սկզբունքները	10
4. Վարի տեխնոլոգիական գործընթացի տեսական հիմունքները	12
5. Գուբանի քարշային դիմադրությունը	15
6. Գուբանի քանող օրգանների պարամետրերի հաշվարկի տեսությունը	19
7. Հողի լրացուցիչ մշակման մեքենաների բանող օրգանների պարամետրերի հաշվարկի տեսություն	22
8. Բանող օրգանների տեղակայումը կուլտիվատորի շրջանակի վրա	27
9. Ցաքաններ	30
10. Ֆրեզային մեքենաների պարամետրերի հաշվարկի տարրերը	33
11. Հողի լրացուցիչ մշակման մեքենաների քարշային դիմադրությունը	36
12. Հարթ սեպի տեղակայման անկյան հիմնավորումը	37